

# Отчет по НИРС на тему: Выделение одиночных мюонов, регистрируемых атмосферным черенковским телескопа TAIGA-IACT

*Студент М24-114:* Горбунов Д.С.

*Руководитель работы:* Волчугов П.А.

*Место выполнения:* МГУ имени М.В. Ломоносова,  
Научно-исследовательский институт ядерной физики имени  
Д.В. Скobelьцына, Лаборатория наземной гамма-астрономии

## Цель работы:

Определить интегральную квантовую чувствительность телескопа TAIGA-IACT.

## Основные задачи:

- 1) Оценить ожидаемое количество регистрируемых мюонных колец телескопом в единицу времени;
- 2) Разработать алгоритм выделения изображений от одиночных мюонов регистрируемых телескопом TAIGA-IACT;
- 3) Разработать математическую модель распределения интенсивности черенковского излучения по дуге кольца;
- 4) Произвести мюонную калибровку на основании отобранных мюонных колец для моделируемых и экспериментальных событий.

# Гамма-обсерватория TAIGA

Гамма-обсерватория TAIGA (Tunka Advanced Instrument for cosmic rays and Gamma Astronomy) нацелена на решение актуальных вопросов гамма-астрономии и физики космических лучей. Комплекс состоит из установок Tunka-133, Tunka-Grande, TAIGA-HiSCORE, TAIGA-MUON, TAIGA-IACT.

## Параметры телескопа TAIGA-IACT:

$R_{mir} = 2,15$  м – радиус зеркала

$F = 4,75$  м – фокусное расстояние

$h = 700$  м – высота над уровнем моря

$N_{\text{пиксель}} = 600$  – общее число пикселей  
в фокальной плоскости телескопа

$D_{\text{пкс}} = 3$  см =  $0,36^\circ$  – размер пикселя

$i = 4,8^\circ$  – угловой радиус поля зрения



Фотография первых двух телескопов TAIGA-IACT

# Предельно допустимая для анализа энергия мюонов

Чтобы отбирать и анализировать события от одиночных мюонов важно, чтобы черенковский угол не зависел от их энергии, что наблюдается при высоких энергиях.

$E_0 = 106$  МэВ – энергия покоя мюонов;

$n = 1,0002614$  – показатель преломления атмосферы на высоте обсерватории;

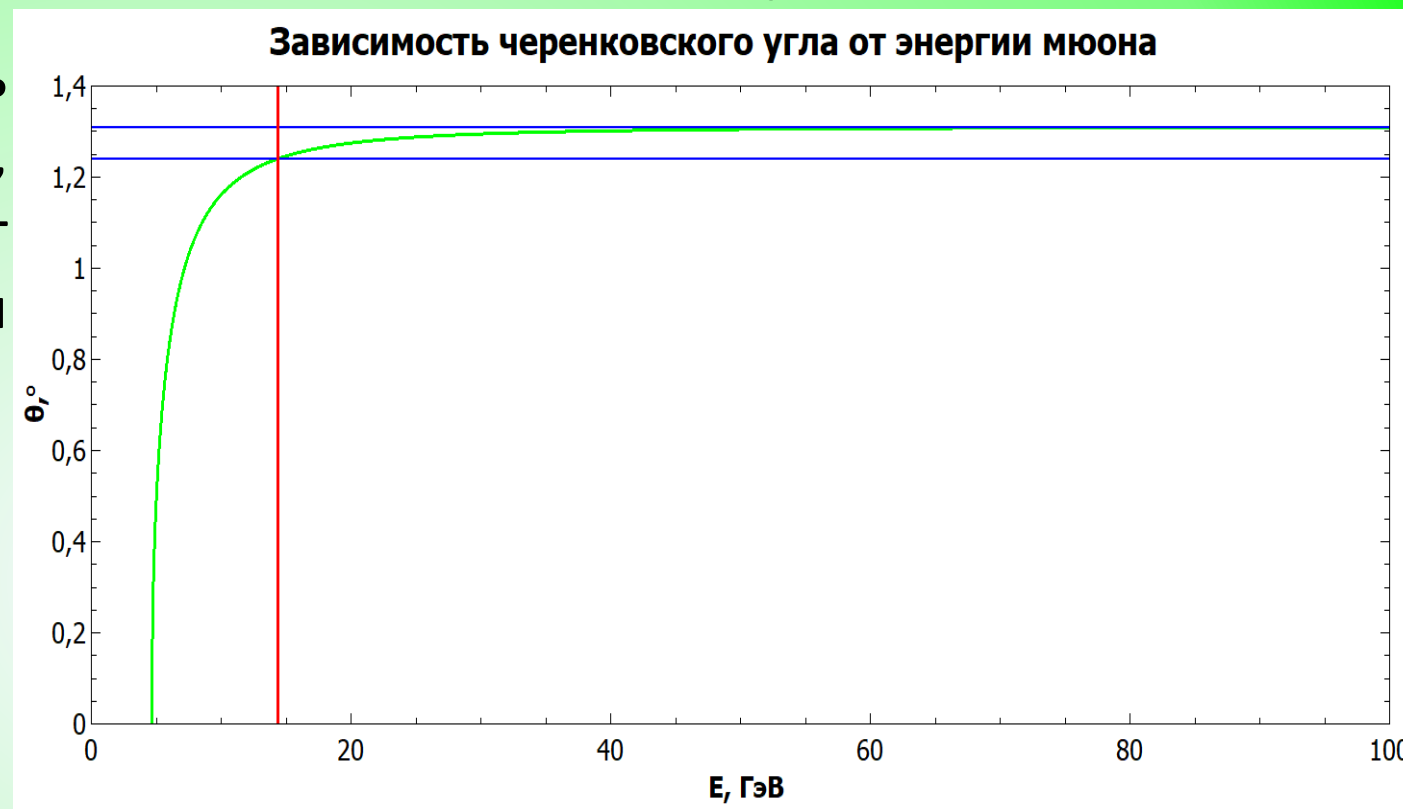
$\theta_{\text{пред}} = 1,31^\circ$  – предельный угол черенковского излучения;

$p = 5\%$  – предельно допустимое отклонение черенковского угла;

$\theta_{\text{крит}} = 1,24^\circ$  – минимально допустимый для анализа черенковский угол;

$E_{\text{крит}} = 14,4$  ГэВ – минимально допустимая для анализа энергия мюонов;

$E_{\text{порог}}$  = 4,6 ГэВ – пороговая энергия мюонов.



# Оценка ожидаемого количества одиночных мюонов

На основании справочных данных\* с помощью линейной интерполяции был получен поток одиночных мюонов в единицу времени в единицу телесного угла на единичную площадку для найденной ранее минимально пригодной энергии:

$$\text{Для } E > E_{\text{крит}} = 14,4 \text{ ГэВ} \Rightarrow \left( \frac{dN_{\mu}}{dSd\Omega dt} \right)_{\text{крит}} = 4,610 \frac{\text{мюон}}{\text{м}^2 * \text{ср} * \text{с}}$$

Интегрированием по всей площади зеркала телескопа и соответствующему ей телесному углу был получен поток одиночных мюонов в единицу времени:

$$\left( \frac{dN_{\mu}}{dt} \right)_{\text{крит}} = \left( \frac{dN_{\mu}}{dSd\Omega dt} \right)_{\text{крит}} (1 - \cos \theta_{\text{пред}}) 2\pi^2 R_{mir}^2 = 0,110 \frac{\text{мюон}}{\text{с}} = 7 \frac{\text{мюон}}{\text{мин}} = 396 \frac{\text{мюон}}{\text{час}}$$

\* De Pascale M. P., Morsell A., P. Picozza et al. Absolute Spectrum and Charge Ratio of Cosmic Ray Muons in the Energy Region From 0.2 GeV to 100 GeV at 600 m Above Sea Level // Journal of geophysical research, Vol. 98, no. A3, Pages 3501 – 3507, March 1, 1993.

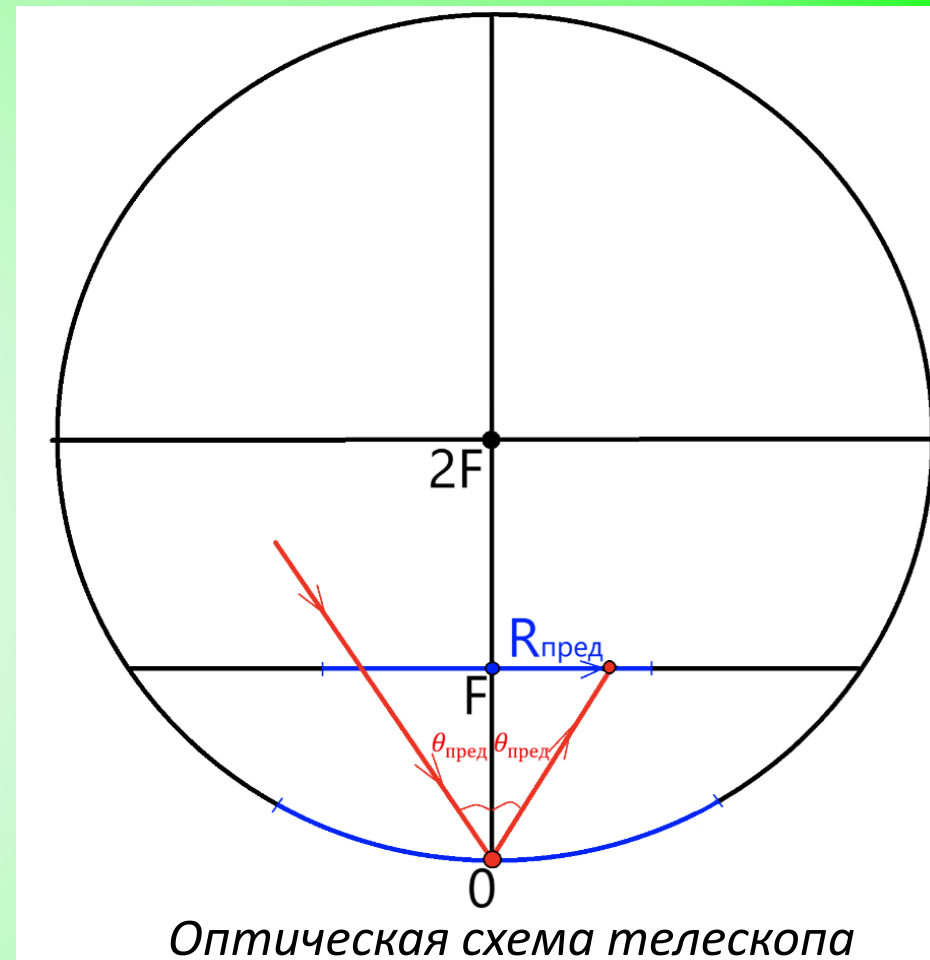
# Выделение событий от одиночных мюонов

Проекцией черенковского конуса на плоскость зеркала является круг, который после прохождения сферического зеркала преобразуется в кольцо в фокальной плоскости телескопа. Исходя из оптической схемы телескопа можно найти её радиус:

$$R_{\text{пред}} = F \operatorname{tg} \theta_{\text{пред}} = 10,86 \text{ см}$$

Начиная с энергии  $E_{\text{крит}} = 14,4 \text{ ГэВ}$ , радиус кольца можно считать постоянным. Однако на практике, детектируется и множество других событий, вызванных ШАЛ. Для отбора корректных событий используется два критерия:

- Критерий величины радиуса** – допускается отклонение от теоретического значения в  $R_0 = 2 \text{ см}$ ;
- Критерий длины дуги** – она должна быть больше  $180^\circ$ .



# Критерий величины радиуса черенковского кольца

Для определения радиуса колец используются два метода:

- Грубый метод** – путём усреднения координат пикселей находится центр кольца и затем путём усреднения расстояний от пикселей до этого центра находится радиус кольца  $R$  и относительное отклонение пикселей  $\delta_R$ ;
- Преобразование Хафа** – фазовое пространство координат пикселей разбивается на прямоугольные области, в каждой из которых считается радиус черенковского кольца  $R_H$ . Прямоугольник, обладающий наименьшим относительным отклонением  $\delta_H$  - считается центром кольца. Данный метод требует значительно больших вычислительных мощностей по сравнению с грубым.

$$|R_H - R_{\text{пред}}| < R_0$$

## Событие №6037 (верхнее):

$$R = 14,0 \text{ см} (\delta_R = 37\%)$$

$$R_H = 10,4 \text{ см} > 10,86 \text{ см} - 2 \text{ см} (\delta_H = 8\%)$$

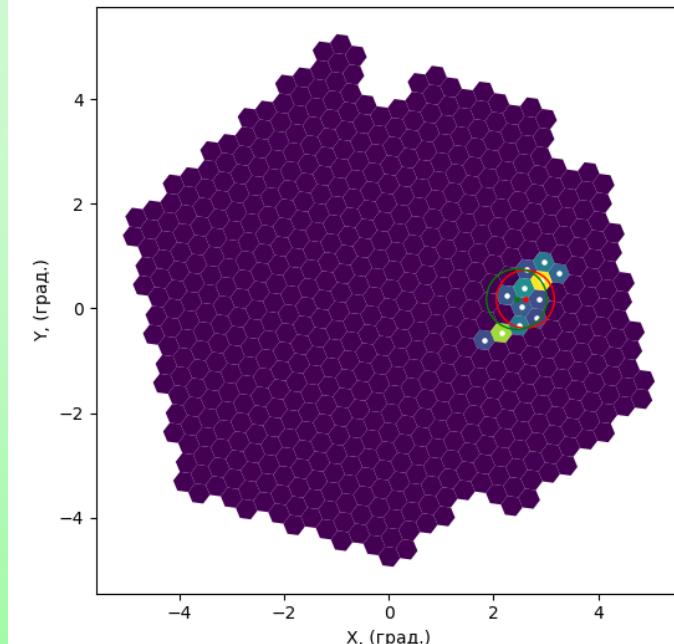
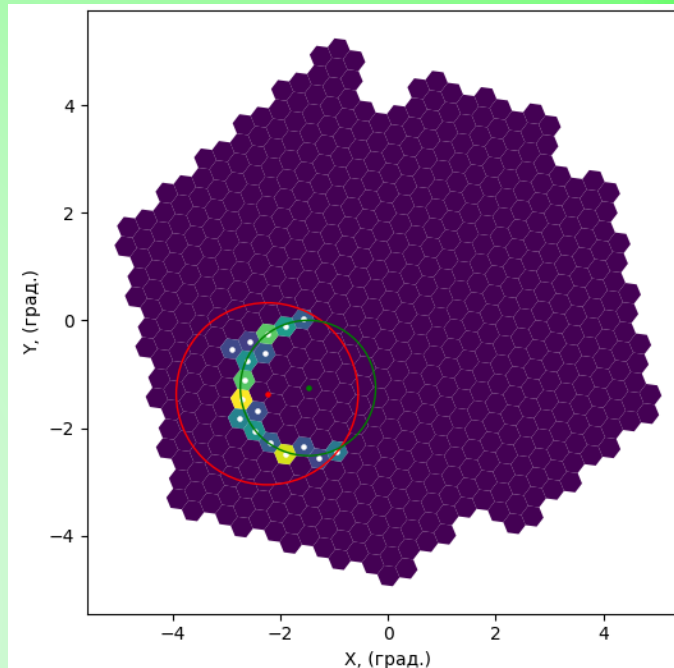
критерий выполнен

## Событие №4491 (нижнее):

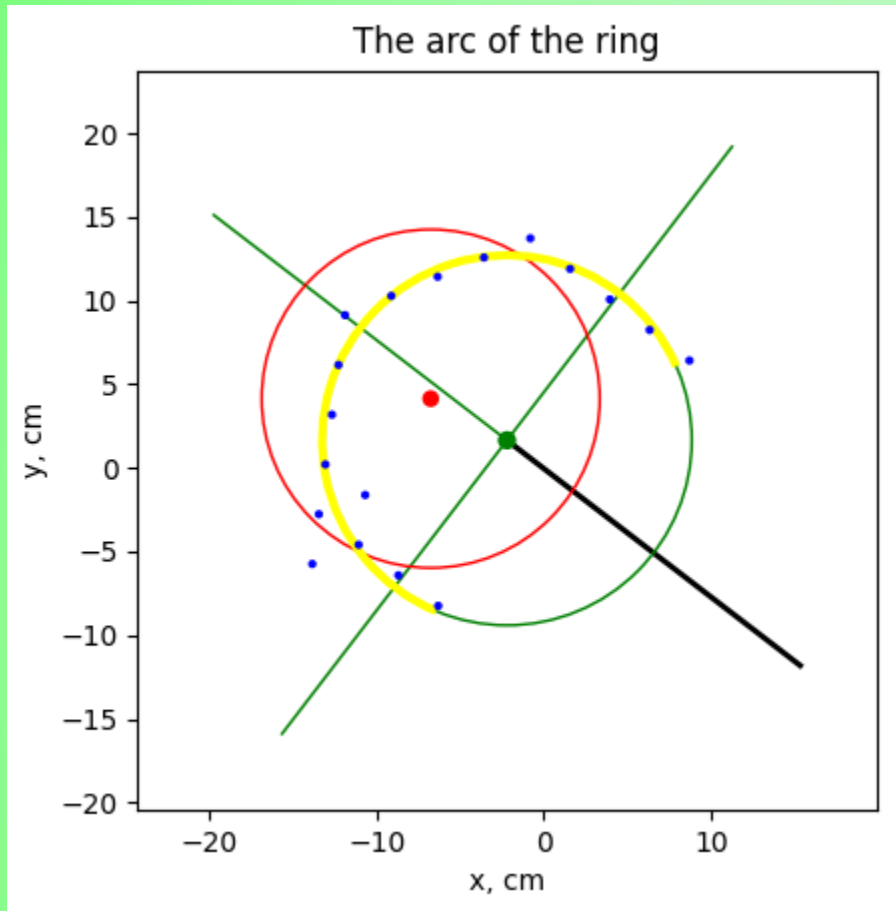
$$R = 4,6 \text{ см} (\delta_R = 61\%)$$

$$R_H = 4,8 \text{ см} < 10,86 \text{ см} - 2 \text{ см} (\delta_H = 41\%)$$

критерий НЕ выполнен



# Критерий длины дуги черенковского кольца



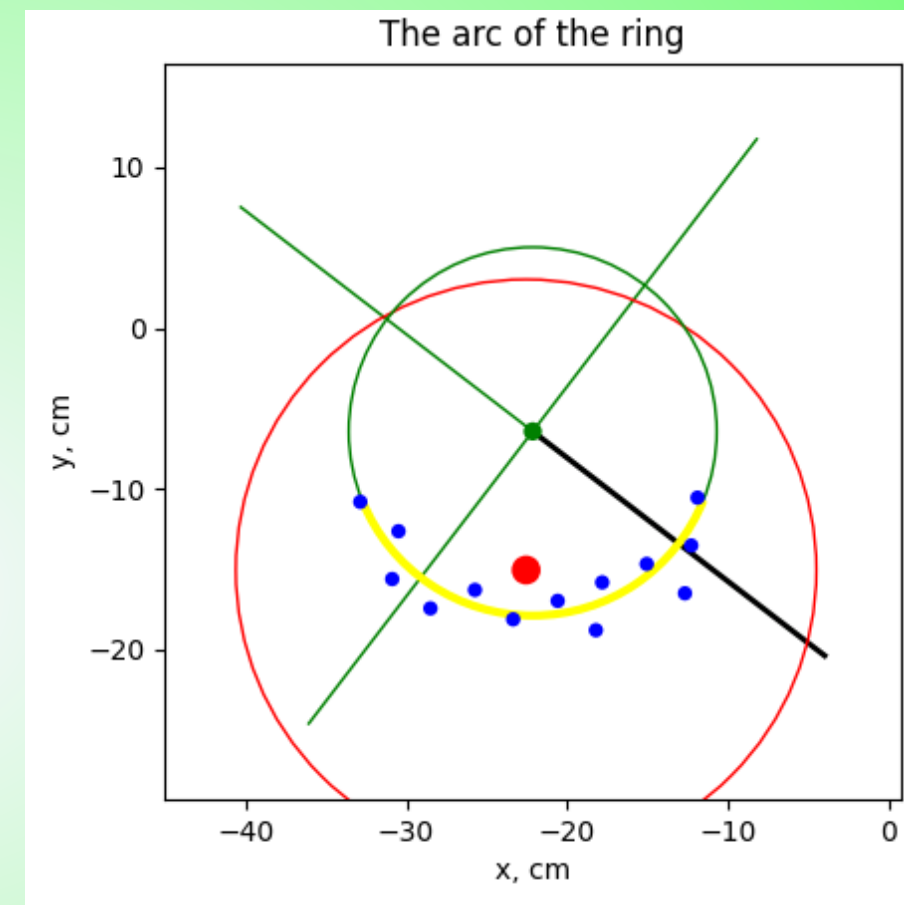
Событие №7667:

$$\omega_{c start} = 61^\circ$$

$$\omega_{c finish} = -75^\circ$$

$$\Delta\omega_{arc} = 224^\circ > 180^\circ$$

критерий выполнен



Событие №988:

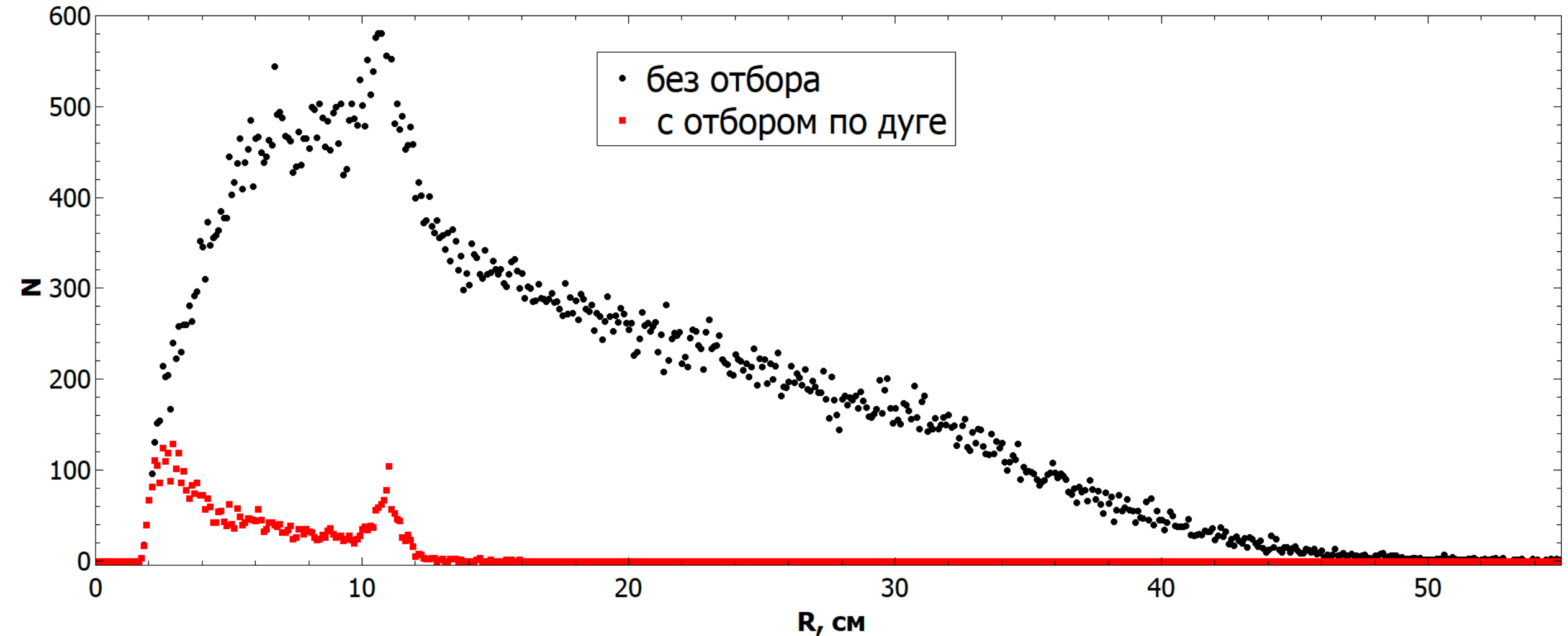
$$\omega_{c start} = -120^\circ$$

$$\omega_{c finish} = 16^\circ$$

$$\Delta\omega_{arc} = 136^\circ < 180^\circ$$

критерий НЕ выполнен

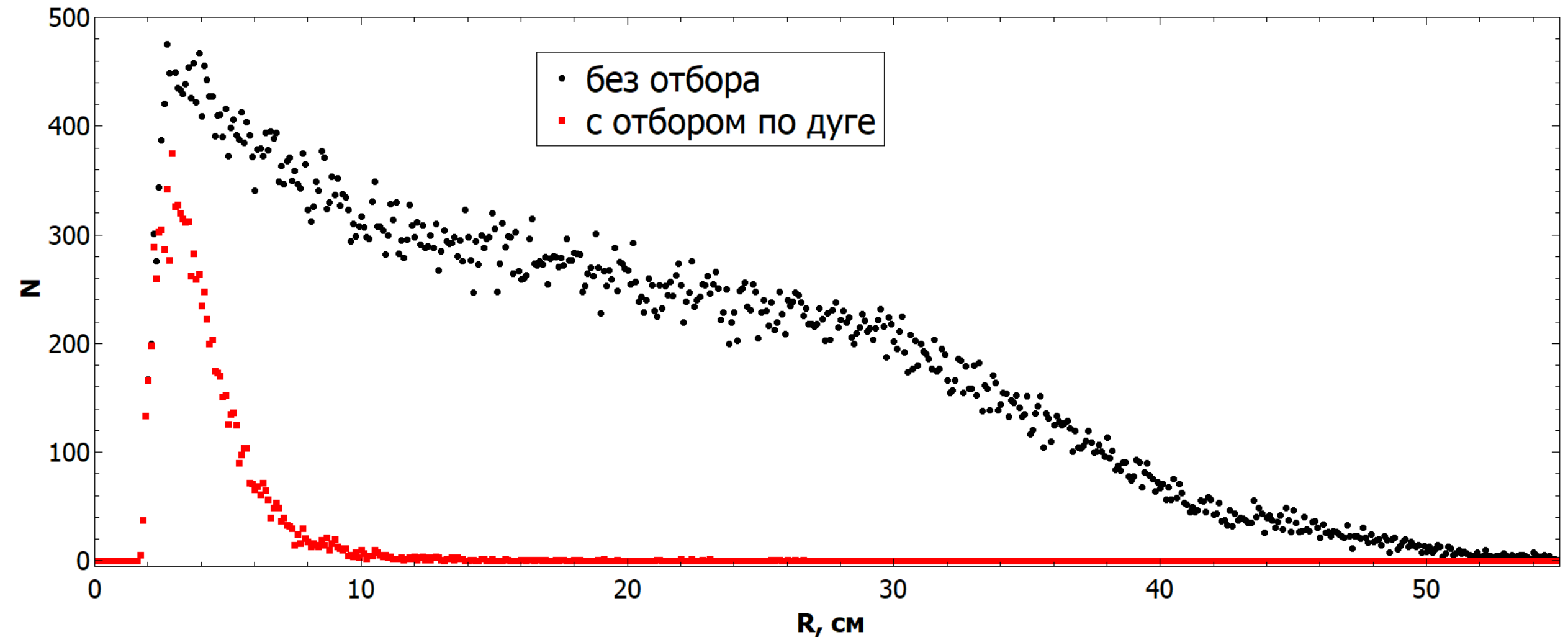
## Распределение по радиусам (моделирование)



Без отбора:  $N = 100\ 000$

С отбором по дуге:  $N = 5\ 199$

## Распределение по радиусам (эксперимент)



Без отбора:  $N = 100\ 000$

С отбором по дуге:  $N = 10\ 239$

# Распределение интенсивности в черенковом кольце

## Центральный случай

Формула Тамма-Франка предсказывает ожидаемое число фотонов в пикселе, которое можно соотнести с измеренным и получить величину ослабления:

$$I = 2\pi\alpha L \sin^2 \theta_{\text{пред}} \int_{\lambda_{\min}}^{\lambda_{\max}} \frac{\eta(\lambda)}{\lambda^2} d\lambda$$

Численный расчёт интеграла квантовой чувствительности фотоумножителей:

$$\tilde{\eta} = \int_{200 \text{ нм}}^{640 \text{ нм}} \frac{\eta(\lambda)}{\lambda^2} d\lambda = 463055 \text{ м}^{-1}$$

Полная длина траектории мюона, фотоны с которой попадут на зеркало:

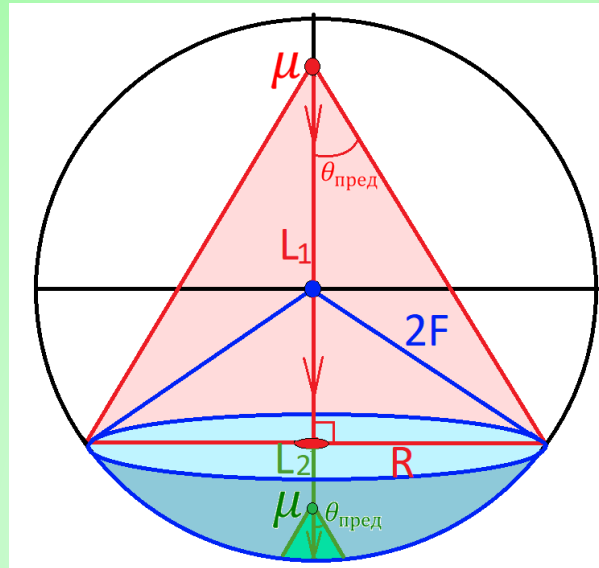
$$L = L_1 + L_2 = 94,29 \text{ м}$$

Полный поток фотонов на кольцо:

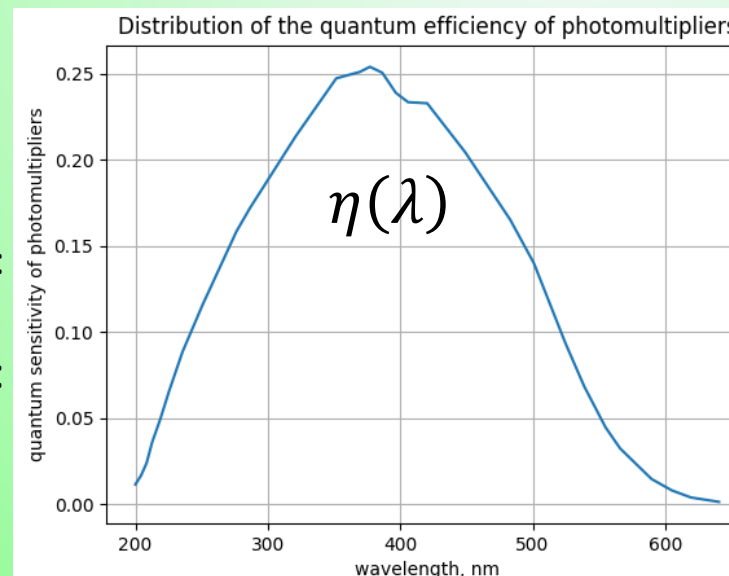
$$I_0 = 2\pi\alpha L \tilde{\eta} \sin^2 \theta_{\text{пред}} = 1047$$

Поток фотонов на один пиксель:

$$I_{\text{пред}} = \alpha L \tilde{\eta} \Delta\omega_{\text{пред}} \sin^2 \theta_{\text{пред}} = 46$$



## Центральный случай



## Смешённый случай

Область изменения переменных:

$0 < \rho < R_{mir}$  – прицельный параметр;

$0 < \psi < 1$  – квантовая эффективность.

Границы частей разбиения фазового пространства:

$$\rho_i = iR_{mir}/d, 0 \leq i \leq d$$

$$\psi_j = j/d, 0 \leq j \leq d$$

Интенсивность пикселя  $k$  в точке разбиения  $(i, j)$ :

$$I_{i,j,k} = I_0 \Delta\sigma(\omega_k, \rho_i) \psi_j$$

Среднеквадратичное отклонение интенсивности пикселей кольца в точке разбиения  $(i, j)$ :

$$(\Delta I_{i,j})^2 = \frac{\sum_{k=1}^n m_k (I_{i,j,k} - m_k)^2}{\sum_{k=1}^n m_k} \left( \begin{array}{l} m_k - \text{измеренное} \\ \text{число фотонов} \\ \text{в пикселе} \end{array} \right)$$

Минимизация среднеквадратичного отклонения:

$$\Delta I_{i,j} = \Delta I_{i,j \min} \Rightarrow \rho = \rho_i, \psi = \psi_j, I_k = I_{i,j,k}, \Delta I = \Delta I_{i,j}$$

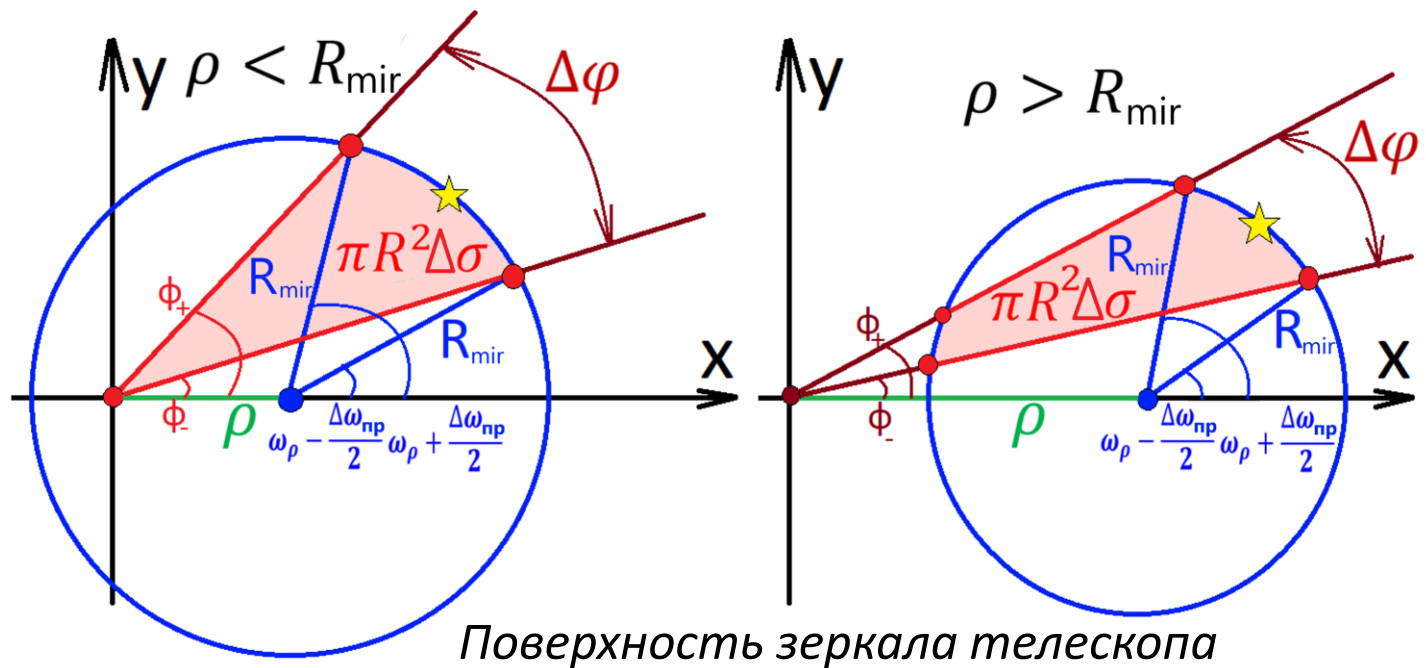
Средняя интенсивность пикселей в кольце:

$$\bar{I} = \frac{\sum_{k=1}^n m_k I_k}{\sum_{k=1}^n m_k} \left( \begin{array}{l} \text{на основе} \\ \text{фитирования} \end{array} \right) \bar{m} = \frac{\sum_{k=1}^n m_k}{n} \left( \begin{array}{l} \text{на основе} \\ \text{интенсивности} \\ \text{пикселей} \end{array} \right)$$

Относительное среднеквадратичное отклонение:

$$\delta_I = \frac{\Delta I}{\bar{I}} \left( \begin{array}{l} \text{позволяет отбирать события с высоким} \\ \text{соответствием распределения интенсивности} \\ \text{пикселей сегментной функции} \end{array} \right)$$

# Расчёт площади сегмента зеркала, собирающего свет в один пиксель



Сегментная функция определяет относительную площадь сегмента зеркала в диапазоне углов от 0 до  $\varphi$ :

$$\sigma(\varphi) = \begin{cases} \frac{1}{2\pi} \left( \varphi + \frac{\rho^2}{2R_{mir}^2} \sin 2\varphi + \arcsin \left( \frac{\rho}{R_{mir}} \sin \varphi \right) + \frac{\rho}{R_{mir}} \sin \varphi \sqrt{1 - \frac{\rho^2}{R_{mir}^2} \sin^2 \varphi} \right), & \rho < R_{mir} \\ \frac{1}{\pi} \left( \arcsin \left( \frac{\rho}{R_{mir}} \sin \varphi \right) + \frac{\rho}{R_{mir}} \sin \varphi \sqrt{1 - \frac{\rho^2}{R_{mir}^2} \sin^2 \varphi} \right), & \rho > R_{mir} \end{cases}$$

Относительная площадь сегмента зеркала, собирающего свет в один пиксель:

$$\Delta\sigma = |\sigma(\varphi_+) - \sigma(\varphi_-)|$$

В случае падения мюонов на центр зеркала:

$$\rho = 0 \Rightarrow \varphi(\omega_\rho) = \omega_\rho \Rightarrow \varphi_\pm = \omega_\rho \pm \frac{\Delta\omega_{\text{пред}}}{2} \Rightarrow \Delta\varphi = \Delta\omega_{\text{пред}} \Rightarrow \sigma(\varphi) = \frac{\varphi}{2\pi} = \frac{\omega_\rho}{2\pi} \Rightarrow \Delta\sigma = \frac{\Delta\varphi}{2\pi} = \frac{\Delta\omega_{\text{пред}}}{2\pi}$$

Центральная угловая функция связывает углы, под которыми наблюдаются пиксели в фокальной плоскости  $\omega_\rho$ , с углами на поверхности сферического зеркала телескопа  $\varphi$ , с которых свет в эти пиксели собирается:

$$\varphi(\omega_\rho) = \arg \left( \frac{\rho}{R_{mir}} + \cos \omega_\rho, \sin \omega_\rho \right)$$

Угловой размер пикселя в фокальной плоскости:

$$\Delta\omega_{\text{пред}} = 360^\circ \frac{D_{\text{пкс}}}{2\pi R_{\text{пред}}} = 15,83^\circ$$

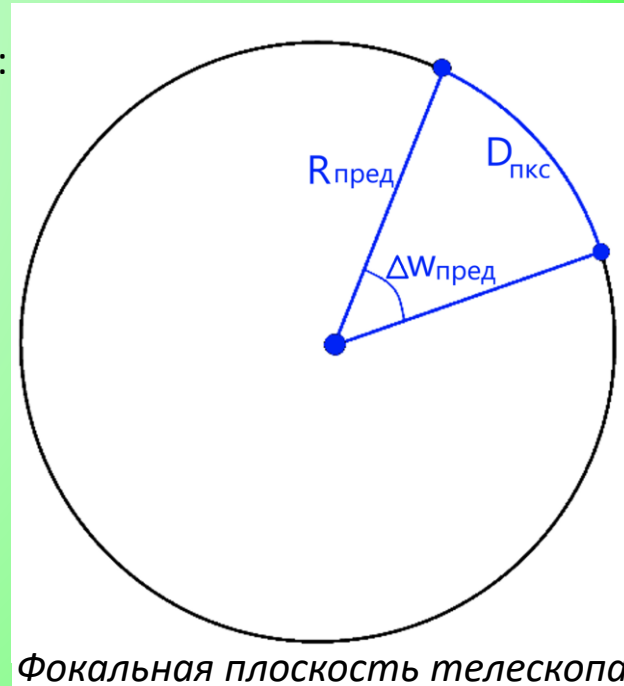
Для каждого пикселя можно найти граничные углы:

$$\varphi_\pm = \varphi \left( \omega_\rho \pm \frac{\Delta\omega_{\text{пред}}}{2} \right)$$

Угловой размер пикселя на поверхности зеркала:

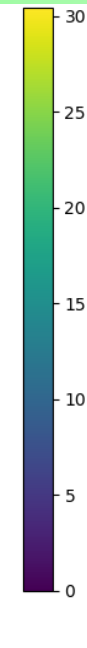
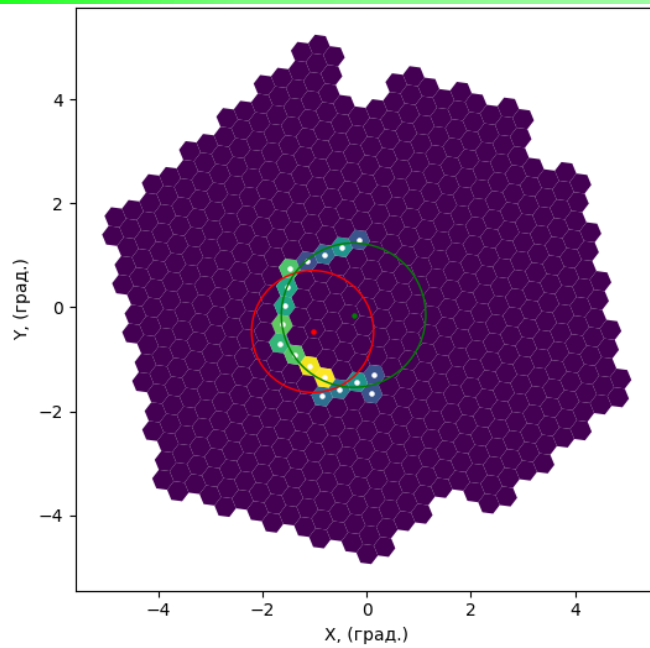
$$\Delta\varphi = \varphi_+ - \varphi_-$$

0



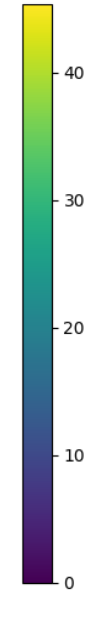
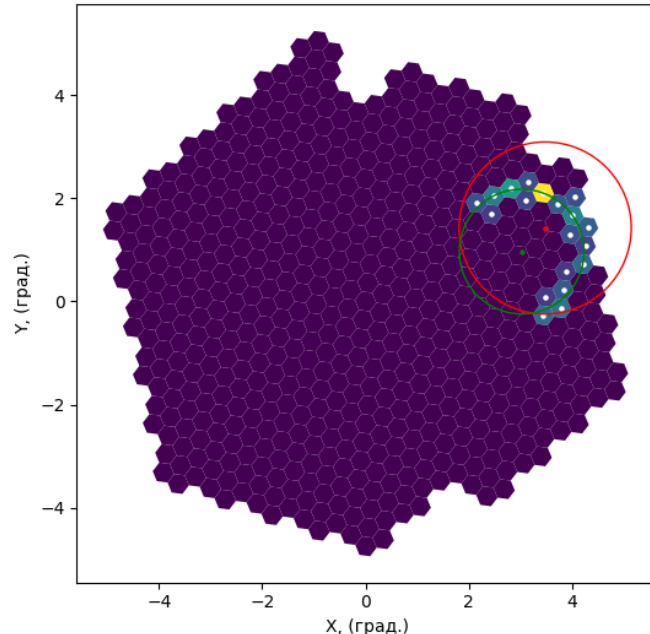
Фокальная плоскость телескопа

# Распределение интенсивности в черенковом кольце



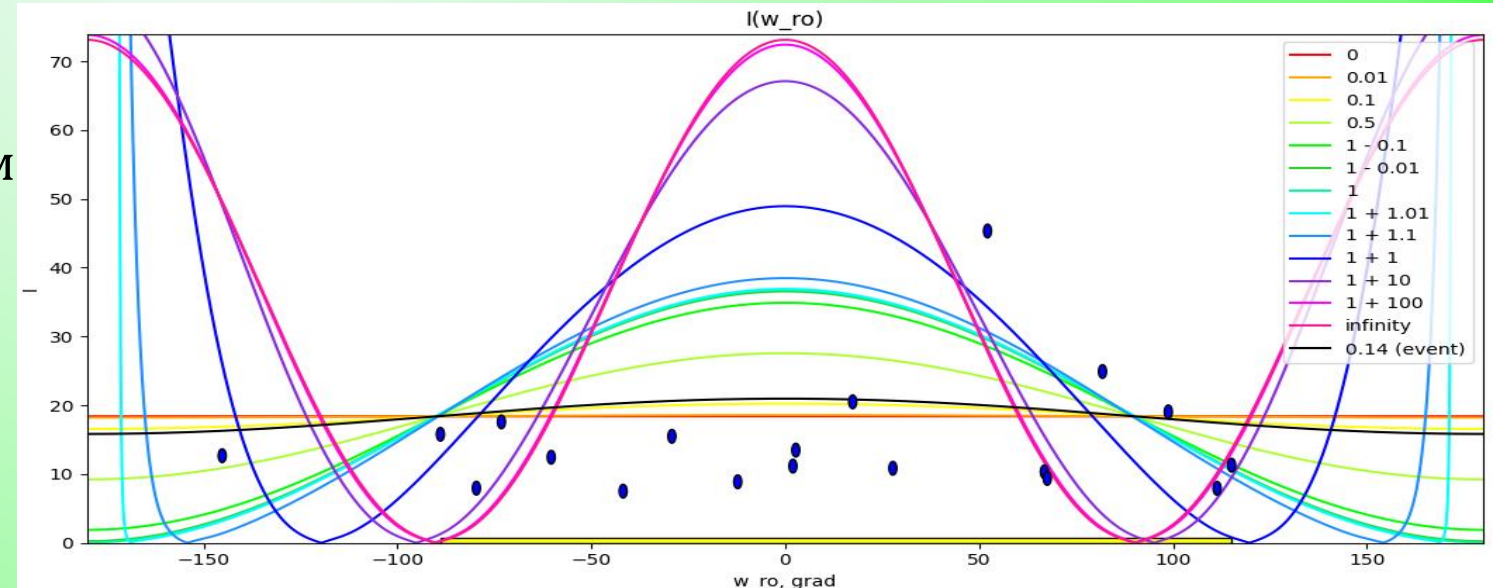
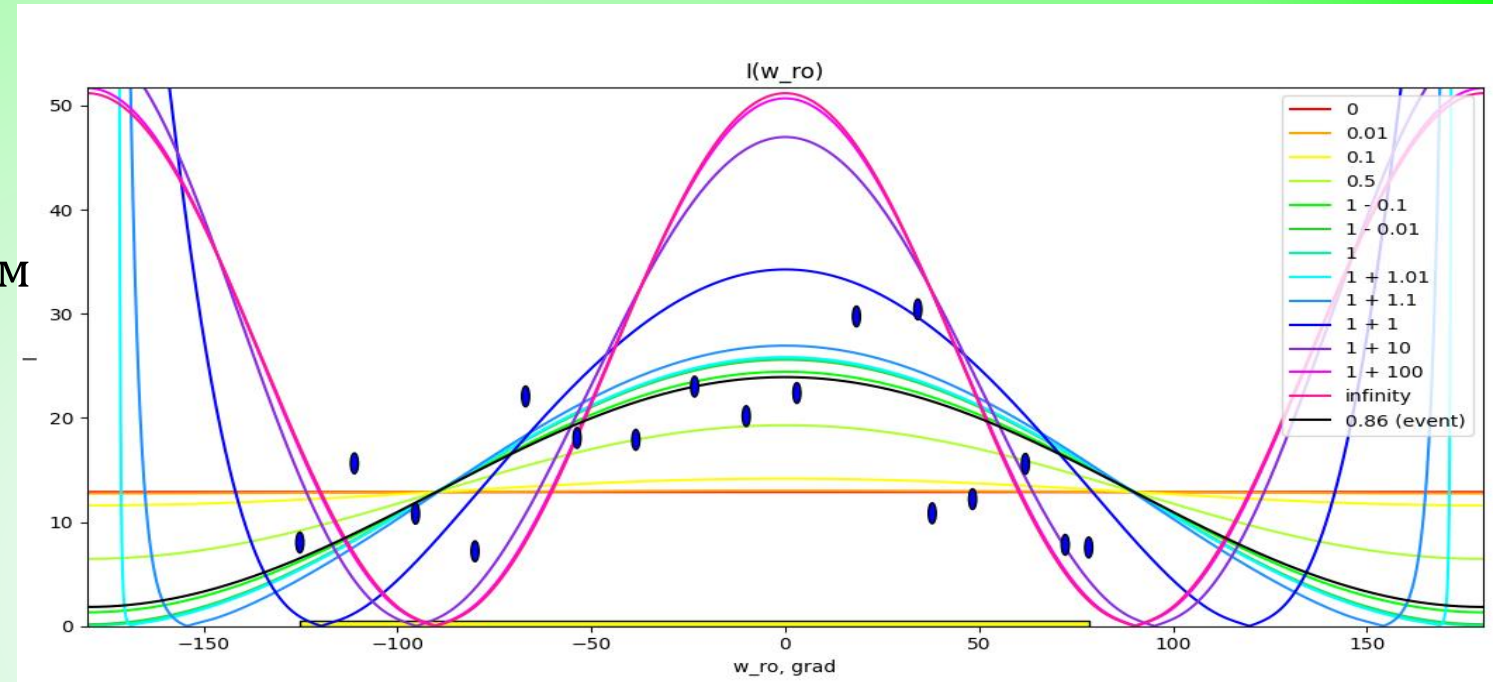
**№87109:**

$$\begin{aligned}\rho &= 184,9 \text{ см} \\ \psi &= 28\% \\ \bar{m} &= 16,4 \\ \bar{I} &= 19,5 \\ \delta_I &= 29\%\end{aligned}$$

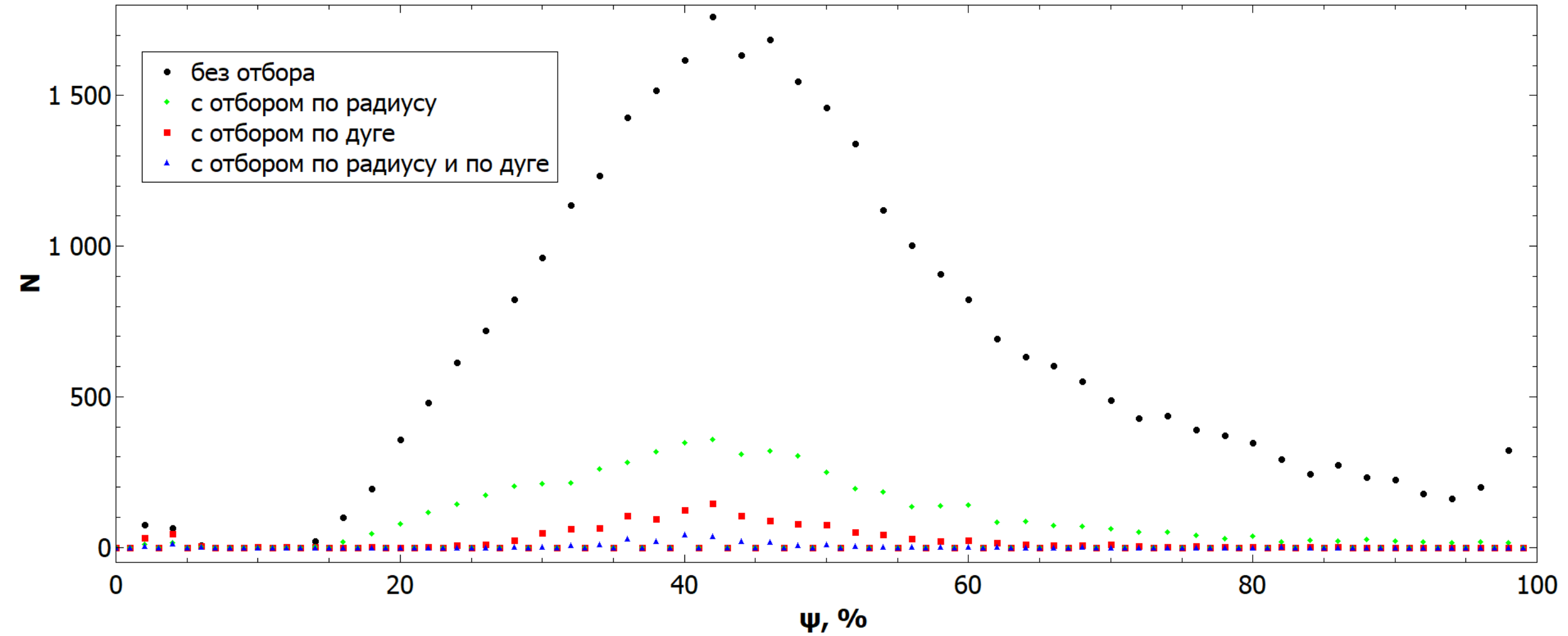


**№46206:**

$$\begin{aligned}\rho &= 30,1 \text{ см} \\ \psi &= 40\% \\ \bar{m} &= 14,9 \\ \bar{I} &= 19,6 \\ \delta_I &= 62\%\end{aligned}$$



## Распределение по квантовой эффективности (моделирование)



Без отбора:

$N = 31\ 706$

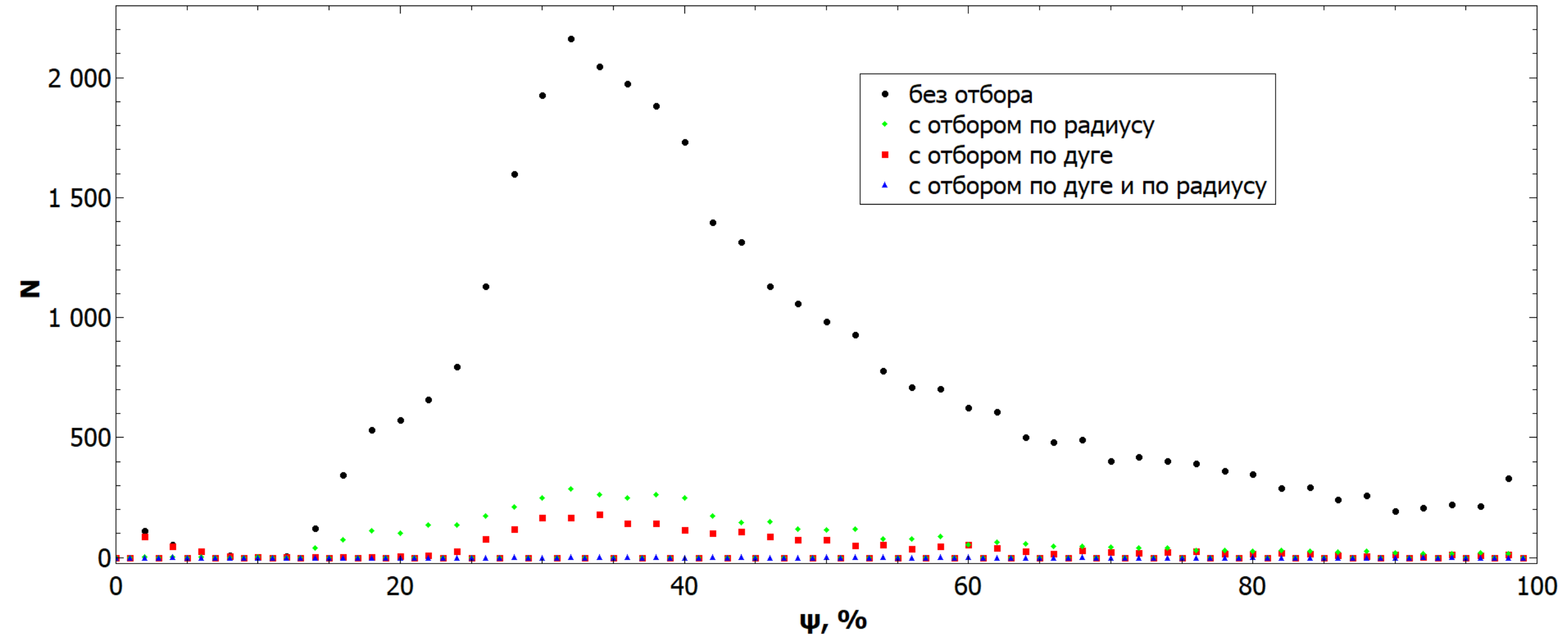
С отбором по радиусу:

$N = 5\ 519$

С отбором по дуге:  $N = 1\ 352$

С отбором по радиусу и по дуге:  $N = 242$

# Распределение по квантовой эффективности (эксперимент)



Без отбора:

$N = 33\,975$

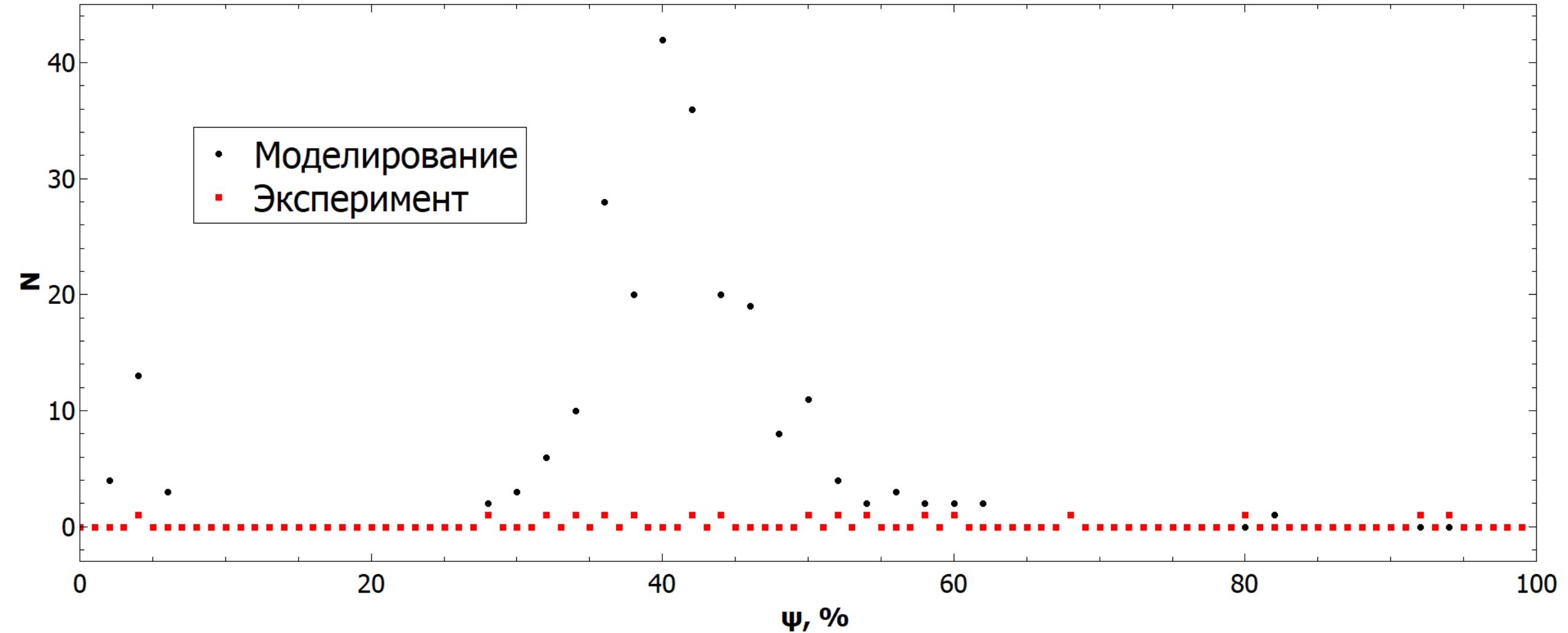
С отбором по радиусу:

$N = 4\,279$

С отбором по дуге:  $N = 2\,346$

С отбором по радиусу и по дуге:  $N = 17$

# Распределение по квантовой эффективности (двойной отбор)



Моделирование:  $N = 242$

Эксперимент:  $N = 17$

# Заключение

В рамках данной работы:

- было оценено ожидаемое количество регистрируемых мюонных колец телескопом в единицу времени;
- был разработан алгоритм выделения изображений от одиночных мюонов, регистрируемых телескопом TAIGA-IACT;
- была разработана математическая модель распределения интенсивности черенковского излучения по дуге кольца;
- была проведена первая оценка интегральной квантовой чувствительности третьего телескопа установки TAIGA-IACT по данным эксперимента и моделирования.

На основании аппроксимации распределения по данным моделирования были получены следующие значения квантовой эффективности:

- без отбора:  $\psi = 49 \pm 18\%$ ;
- с отбором по дуге:  $\psi = 40 \pm 13\%$ ;
- с отбором по радиусу:  $\psi = 45 \pm 16\%$ ;
- с отбором по дуге и по радиусу:  $\psi = 39 \pm 12\%$ .

На основании аппроксимации распределения по данным моделирования были получены следующие значения квантовой эффективности:

- без отбора:  $\psi = 45 \pm 19\%$ ;
- с отбором по дуге:  $\psi = 42 \pm 19\%$ ;
- с отбором по радиусу:  $\psi = 42 \pm 18\%$ ;
- с отбором по дуге и по радиусу:  $\psi = 51 \pm 23\%$ .

# Список использованной литературы

- 1 Kuzmichev L. A., Astapov I. I., Bezyazeekov P. A. et al. TAIGA gamma observatory: Status and prospects // Physics of Atomic Nuclei. 2018. Jul. Vol. 81, no. 4. P. 497
- 2 Kuzmichev L., Astapov I., Bezyazeekov P. et al. Tunka Advanced Instrument for cosmic rays and Gamma Astronomy (TAIGA): Status, results and perspectives // EPJ Web of Conferences. 2017. Vol. 145. P. 01001. Access mode: <https://doi.org/10.1051/epjconf/201714501001>.
- 3 Philips Photo and Electron Multipliers. T. 9. – 1987.  
[https://bitsavers.org/components/phillips/\\_dataBooks/1987\\_T09\\_Philips\\_Photo\\_and\\_Electron\\_Multipliers.pdf](https://bitsavers.org/components/phillips/_dataBooks/1987_T09_Philips_Photo_and_Electron_Multipliers.pdf)
- 4 De Pascale M. P., Morsell A., P. Picozza et al. Absolute Spectrum and Charge Ratio of Cosmic Ray Muons in the Energy Region From 0.2 GeV to 100 GeV at 600 m Above Sea Level // Journal of geophysical research, Vol. 98, no. A3, Pages 3501 – 3507, March 1, 1993.
- 5 Duda R. O., Hart P. E. Use of the Hough Transformation to Detect Lines and Curves in Pictures. Commun. ACM, 1972, vol. 15, no. 1, pp. 11–15.
- 6 Мухин К.Н. Экспериментальная ядерная физика, Т.1,2.-М.: Энергоатомиздат, 1996.

# Критерий величины радиуса черенковского кольца

## Грубый метод оценки радиуса

Центр черенковского кольца:

$$x_c = \frac{\sum_{k=1}^n m_k x_k}{\sum_{k=1}^n m_k}, \quad y_c = \frac{\sum_{k=1}^n m_k y_k}{\sum_{k=1}^n m_k}$$

Радиус кольца для конкретного пикселя:

$$(R_k)^2 = (x_k - x_c)^2 + (y_k - y_c)^2$$

Средний радиус черенковского кольца:

$$R = \frac{\sum_{k=1}^n m_k R_k}{\sum_{k=1}^n m_k}$$

Среднеквадратичное отклонение пикселей:

$$(\Delta R)^2 = \frac{\sum_{k=1}^n m_k (R_k - R)^2}{\sum_{k=1}^n m_k}$$

Относительное среднеквадратичное отклонение:

$$\delta_R = \frac{\Delta R}{R}$$

## Критерий величины радиуса

$$|R_H - R_{\text{пред}}| < R_0, R_{\text{пред}} = 10,86 \text{ см}, R_0 = 2 \text{ см}$$

## Преобразование Хафа

Область изменения координат:

$$x_{\min} < x < x_{\max}, \quad y_{\min} < y < y_{\max}$$

Диаметр разбиения координат:

$$\Delta x = \frac{x_{\max} - x_{\min}}{d}, \quad \Delta y = \frac{y_{\max} - y_{\min}}{d}$$

Границы частей разбиения:

$$x_i = x_{\min} + i\Delta x, \quad 0 \leq i \leq d$$

$$y_i = y_{\min} + j\Delta y, \quad 0 \leq j \leq d$$

Массив среднеквадратичных отклонений:

$$(R_{i,j,k})^2 = (x_k - x_i)^2 + (y_k - y_j)^2$$

$$R_{i,j} = \frac{\sum_{k=1}^n m_k R_{i,j,k}}{\sum_{k=1}^n m_k}, \quad (\Delta R_{i,j})^2 = \frac{\sum_{k=1}^n m_k (R_{i,j,k} - R_{i,j})^2}{\sum_{k=1}^n m_k}$$

Минимизация среднеквадратичного отклонения:

$$i \cap j: \Delta R_{i,j} = \Delta R_{i,j \min} \Rightarrow \begin{cases} x_c = x_i, & y_c = y_j \\ R_H = R_{i,j}, & \Delta R_H = \Delta R_{i,j} \end{cases}$$

Относительное среднеквадратичное отклонение:

$$\delta_H = \frac{\Delta R_H}{R_H}$$

# Критерий длины дуги черенковского кольца

Азимутальный угол центра черенковского кольца в камере телескопа ( $x, y$ ):

$$\theta_c = \arg(x_c, y_c)$$

Азимутальный угол пикселя в «смешённой» камере телескопа ( $x', y'$ ):

$$\omega_{c_k} = \arg(x_k - x_c, y_k - y_c)$$

Азимутальный угол пикселя в мюонной системе координат ( $x'', y''$ ):

$$\omega_{\rho_k} = \omega_{c_k} - \theta_c$$

Отсортируем пиксели черенковского кольца в порядке возрастания азимутального угла в «смешённой» камере телескопа:

$$\omega_{c_{k+1}} > \omega_{c_k}, 0 \leq k \leq n - 1$$

Найдём попарные разности между соседними пикселями:

$$\Delta\omega_k = \omega_{c_{k+1}} - \omega_{c_k}, 0 \leq k \leq n - 2$$

Отдельно рассмотрим разность между первым и последним пикселями:

$$\Delta\omega_{n-1} = 360^\circ - (\omega_{c_{n-1}} - \omega_{c_0})$$

Величина разрыва дуги черенковского кольца:

$$\Delta\omega = \Delta\omega_{k_{max}}, 0 \leq k \leq n - 1$$

Длина дуги черенковского кольца:

$$\Delta\omega_{arc} = 360^\circ - \Delta\omega$$

Начало и конец дуги черенковского кольца:

$$\begin{cases} k_{max} \neq n - 1 \Rightarrow \omega_{c_{start}} = \omega_{c_{k+1}}, \omega_{c_{finish}} = \omega_{c_k} \\ k_{max} = n - 1 \Rightarrow \omega_{c_{start}} = \omega_{c_0}, \omega_{c_{finish}} = \omega_{c_{n-1}} \end{cases}$$

Критерий длины дуги черенковского кольца:

$$\Delta\omega_{arc} > 180^\circ$$

